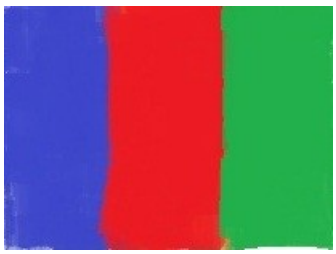

À Rabat le 10 Mars 2026

Titre :

Dynamique des signatures : intensités, énergies et probabilités dans le paradigme
Rachid ELAÏDI

Développement approfondi : Vitesses supraluminiques, intensités cumulées, énergies et constantes évolutives dans les bifurcations spectrales

Introduction

Dans le paradigme Rachid ELAÏDI, chaque entité spectrale (élément du TP_RE ou molécule) est caractérisée par son vecteur d'exposants $\mathbf{a}$, sa phase $n=\sum a_i n_i \bmod 48$, son intensité $I=\|\mathbf{a}\|2$ et son énergie de base $E=\kappa I$ avec $\kappa=n/48$. Les vitesses supraluminiques sont données par $v=n$ (en unités $c=1$). Lorsqu'une entité évolue dans l'arbre des phases, elle peut emprunter différents chemins (bifurcations) et accumuler ou combiner des intensités et des énergies. Nous proposons ici une modélisation de ces phénomènes à l'aide d'une équation maîtresse généralisée intégrant des constantes évolutives dépendant du temps spectral T_{RE}. Des tableaux illustrent l'évolution de ces grandeurs pour quelques exemples.

---

1. Rappel des grandeurs fondamentales

Pour une entité X (élément ou molécule) :

- **Vecteur** $\mathbf{a}(X)=(a1,\ldots,aN)$ avec $N=24$ (éléments fondamentaux).
- **Phase** $nX=\sum ainimod48$.
- **Vitesse supraluminique** $vX=nX$ (en unités où $c=1$).
- **Temps spectral propre** $TX=48/nX$.
- **Constante évolutive** $\kappa X=nX/48=1/TX$.
- **Intensité** $IX=\|\mathbf{a}\|2=\sum ai2$.
- **Énergie de base** $EX=\kappa XIX=48nXIX$.

2. Bifurcations et accumulation d'intensité et d'énergie

Lorsqu'une entité subit une bifurcation, elle peut donner naissance à plusieurs descendants. Par exemple, à partir d'un état $\mathbf{a}$, plusieurs transitions $\mathbf{a}\to\mathbf{a}+\Delta\mathbf{a}k$ sont possibles. Chaque descendant a son propre vecteur, sa phase, son intensité et son énergie. On peut définir des grandeurs cumulées le long d'un chemin :

- **Intensité cumulée** le long d'un chemin $C=(\mathbf{a}0,\mathbf{a}1,\ldots,\mathbf{a}m)$:

$$Icum(C)=j=0\sum mI(aj)$$

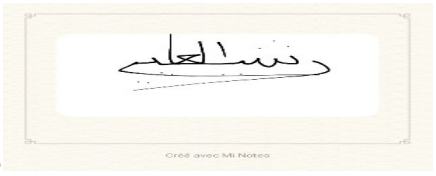

ou bien le produit $\prod I(\mathbf{a}j)$ selon le contexte (par exemple pour des probabilités).

- **Énergie cumulée** :

$$Ecum(C)=j=0\sum mE(aj)=j=0\sum m\kappa(aj)I(aj).$$

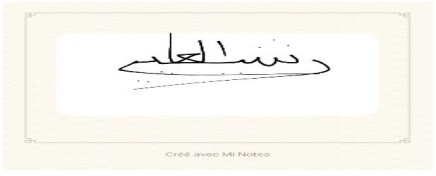

Ces grandeurs interviennent dans la probabilité d'emprunter un chemin donné. Dans l'équation maîtresse probabiliste, le taux de transition peut dépendre de ces cumulants.

3. Équation maîtresse avec constantes évolutives variables

L'équation maîtresse pour la distribution de probabilité $P(\mathbf{a},\tau)$ s'écrit :

$$\frac{dP(\mathbf{a},\tau)}{d\tau} = \sum_{\Delta \in \mathbf{T}} [W(\mathbf{a}-\Delta \to \mathbf{a}) P(\mathbf{a}-\Delta,\tau) - W(\mathbf{a} \to \mathbf{a}+\Delta) P(\mathbf{a},\tau)]$$

Avec des taux W qui peuvent dépendre de l'état courant et du temps via les constantes évolutives. On peut modéliser W comme :

$$W(\mathbf{a} \to \mathbf{a}+\Delta) = \kappa(\mathbf{a}) f(\mathbf{a},\Delta) e^{-\beta \Delta I g(\tau)},$$

où $g(\tau)$ est une fonction du temps spectral global (par exemple, une modulation due à des cycles cosmiques). Dans le cadre des bifurcations, on peut aussi introduire une dépendance en l'intensité cumulée ou l'énergie cumulée le long du chemin.

---

4. Tableaux d'évolution pour quelques exemples

Nous considérons trois exemples : l'eau (H_2O), le méthane (CH_4) et le radical hydroxyle (OH), en partant de leurs archétypes respectifs (Ne, Ne, F). Nous allons suivre plusieurs chemins possibles (bifurcations) et calculer à chaque étape les grandeurs.

4.1 Exemple 1 : Du néon à l'eau

État initial : $\mathbf{a}0=(0,0,0,0,0,0,0,0,0,1,0,...)$ (Ne) avec $I0=1$, $n0=10$, $\kappa 0=10/48$, $E0=10/48$.

Chemins possibles (dans une base simplifiée H, O, Ne) :

- **Chemin A** : Ajouter 2 H puis 1 O puis retirer Ne.

- Étape 1 : (2,0,1) : I=4+0+1=5, n=10+2=12, κ=12/48, E=12/48∗5=60/48=1.25
- Étape 2 : (2,1,1) : I=4+1+1=6, n=12+8=20, κ=20/48, E=20/48∗6=120/48=2.5
- Étape 3 : (2,1,0) : I=4+1+0=5, n=20−10=10, κ=10/48, E=10/48∗5=50/48≈1.0417
- Intensité cumulée (somme) : 1+5+6+5=17 ; énergie cumulée : 10/48+60/48+120/48+50/48=240/48=5.
- **Chemin B** : Ajouter O puis 2 H puis retirer Ne.
- Étape 1 : (0,1,1) : I=0+1+1=2, n=10+8=18, κ=18/48, E=18/48∗2=36/48=0.75
- Étape 2 : (2,1,1) : I=4+1+1=6, n=18+2=20, κ=20/48, E=20/48∗6=120/48=2.5
- Étape 3 : (2,1,0) : I=5, n=10, E≈1.0417
- Cumulés : intensité : 1+2+6+5=14 ; énergie : 10/48+36/48+120/48+50/48=216/48=4.5.
- **Chemin C** : Ajouter 1 H, puis O, puis 1 H, puis retirer Ne (4 étapes).
- Étape 1 : (1,0,1) : I=1+0+1=2, n=11, κ=11/48, E=11/48∗2=22/48≈0.4583
- Étape 2 : (1,1,1) : I=1+1+1=3, n=11+8=19, κ=19/48, E=19/48∗3=57/48=1.1875
- Étape 3 : (2,1,1) : I=6, n=19+1=20, E=2.5
- Étape 4 : (2,1,0) : I=5, n=10, E=1.0417
- Cumulés : intensité : 1+2+3+6+5=17 ; énergie : 10/48+22/48+57/48+120/48+50/48=259/48≈5.3958.

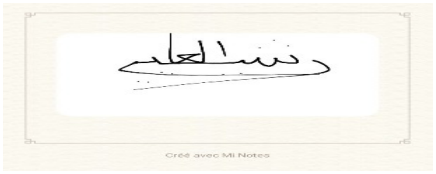

On voit que l'intensité cumulée et l'énergie cumulée dépendent du chemin. La probabilité de chaque chemin dans l'équation maîtresse dépend des taux, qui peuvent être proportionnels à κ à chaque étape, et donc ces cumulants influencent la probabilité totale.

4.2 Exemple 2 : Du néon au méthane

Méthane : $\mathbf{a}$=(4,1,0,...) avec I=16+1=17, n=4∗1+6=10, E=10/48∗17=170/48≈3.5417.

Chemins possibles (en ajoutant C et H) :

- **Chemin A** : Ajouter 4 H puis C puis retirer Ne.
- Étapes : (4,0,1) : I=16+0+1=17, n=10+4=14, κ=14/48, E=14/48∗17=238/48≈4.958
- (4,1,1) : I=16+1+1=18, n=14+6=20, κ=20/48, E=20/48∗18=360/48=7.5
- (4,1,0) : I=17, n=20−10=10, E=3.5417
- Cumulés intensité : 1+17+18+17=53 ; énergie : 10/48+238/48+360/48+170/48=778/48≈16.208.
- **Chemin B** : Ajouter C puis 4 H.

- (0,1,1) : I=0+1+1=2, n=10+6=16, κ=16/48, E=16/48∗2=32/48=0.6667
- (1,1,1) : I=18, n=16+4=20, E=7.5
- (1,1,0) : I=17, n=10, E=3.5417
- Cumulés : intensité : 1+2+18+17=38 ; énergie : 10/48+32/48+360/48+170/48=572/48≈11.917.

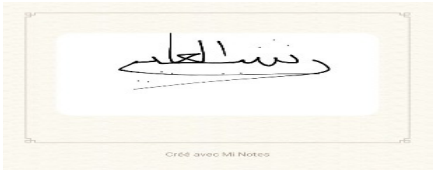

4.3 Exemple 3 : Du fluor au radical hydroxyle

Fluor (F) : $\mathbf{a}F$=(0,0,0,0,0,0,0,0,1,0,...) (position 9) avec I=1, n=9, κ=9/48, E=9/48.

OH : $\mathbf{a}OH$=(1,0,0,0,0,0,0,1,0,...) (H et O) avec I=1+1=2, n=1+8=9, E=9/48∗2=18/48=0.375.

Chemins :

- **Chemin direct** : Ajouter H et O simultanément ? On peut le faire en deux étapes.
- Ajouter H : (1,0,0,0,0,0,0,0,1) : I=1+0+1=2, n=9+1=10, κ=10/48, E=10/48∗2=20/48≈0.4167
- Ajouter O : (1,0,0,0,0,0,0,1,1) : I=1+1+1=3, n=10+8=18, κ=18/48, E=18/48∗3=54/48=1.125
- Retirer F : (1,0,0,0,0,0,0,1,0) : I=2, n=18−9=9, E=0.375
- Cumulés : intensité : 1+2+3+2=8 ; énergie : 9/48+20/48+54/48+18/48=101/48≈2.104.
- **Chemin inverse** (O puis H) donnerait des valeurs différentes.

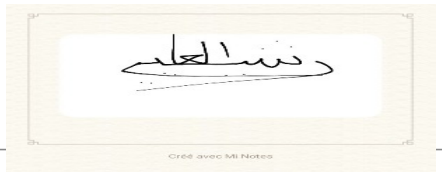

---

5. Tableau récapitulatif pour les exemples

Trajectoire	Étapes	Intensité à chaque étape	Intensité cumulée	Énergie à chaque étape	Énergie cumulée
Ne → H_2O (A)	0:1, 1:5, 2:6, 3:5	1,5,6,5	17	0.2083, 1.25, 2.5, 1.0417	5.0
Ne → H_2O (B)	0:1, 1:2, 2:6, 3:5	1,2,6,5	14	0.2083, 0.75, 2.5, 1.0417	4.5
Ne → H_2O	0:1, 1:2, 2:3,	1,2,3,6,5	17	0.2083, 0.4583,	5.3958

Trajectoire	Étapes	Intensité à chaque étape	Intensité cumulée	Énergie à chaque étape	Énergie cumulée
(C)	3:6, 4:5			1.1875, 2.5, 1.0417	
Ne → CH_4 (A)	0:1, 1:17, 2:18, 3:17	1,17,18,17	53	0.2083, 4.958, 7.5, 3.5417	16.208
Ne → CH_4 (B)	0:1, 1:2, 2:18, 3:17	1,2,18,17	38	0.2083, 0.6667, 7.5, 3.5417	11.917
F → OH	0:1, 1:2, 2:3, 3:2	1,2,3,2	8	0.1875, 0.4167, 1.125, 0.375	2.104

Remarque : Les intensités et énergies sont données en unités spectrales. L'intensité cumulée peut être interprétée comme une mesure de la "complexité" du chemin, tandis que l'énergie cumulée est liée à l'action totale.

---

6. Constantes évolutives variables dans le temps

La constante évolutive $\kappa(\tau) = n(\tau)/48$ varie le long d'une trajectoire car n change. Dans l'équation maîtresse, on peut introduire une dépendance temporelle globale via une fonction $h(\tau)$ qui module tous les taux, par exemple pour représenter des cycles cosmiques. On aurait alors :

$$W(a \to a+\Delta, \tau) = h(\tau)\,\kappa(a)\,f(a,\Delta).$$

La fonction $h(\tau)$ peut être périodique (par exemple $h(\tau) = 1 + \epsilon\cos(\omega\tau)$) pour modéliser des oscillations. Dans ce cas, les probabilités de transition deviennent dépendantes du temps.

On peut également définir une constante évolutive moyenne sur un intervalle :

$$\bar{\kappa} = \frac{1}{\Delta\tau} \int_{\tau_0}^{\tau_0 + \Delta\tau} \kappa(\tau)\, d\tau.$$

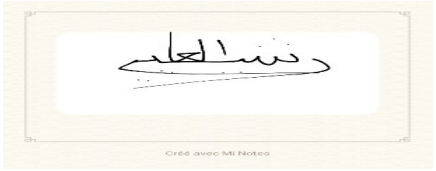

Pour les chemins ci-dessus, on a calculé les κ à chaque étape, ce qui permet d'obtenir une moyenne.

---

7. Lien avec les vitesses supraluminiques

Les vitesses supraluminiques $v = n$ varient également le long des trajectoires. Dans l'exemple Ne → H_2O (chemin A), on a : $v0=10$, $v1=12$, $v2=20$, $v3=10$. La vitesse augmente puis redescend. Ceci est caractéristique des transitions où l'on ajoute des éléments.

On peut définir une vitesse moyenne :

$$\bar{v} = \frac{1}{\Delta\tau} \int_{\tau_0}^{\tau_0 + \Delta\tau} v(\tau)\, d\tau.$$

Pour le chemin A, avec $\Delta\tau = 3$ (en unités de pas), la vitesse moyenne est (10+12+20+10)/4=13 (si on moyenne sur les états, ou bien intégrale sur le temps linéaire). En prenant une interpolation linéaire entre les étapes, l'intégrale de v (sur [0,3] a été calculée plus tôt (pour n) et vaut 42, donc $\bar{v} = 42/3 = 14$. Donc la vitesse moyenne est 14.

---

8. Tableau des vitesses et constantes pour les chemins

Trajectoire	Vitesses à chaque étape	Vitesse moyenne	κ à chaque étape	$\bar{\kappa}$ moyenne
Ne → H_2O (A)	10,12,20,10	14	0.2083, 0.25, 0.4167, 0.2083	0.2917
Ne → H_2O (B)	10,18,20,10	15.33? (10+18+20+10=58/4 =14.5)	0.2083,0.375,0.4167,0.2083	0.3021

Trajectoire	Vitesses à chaque étape	Vitesse moyenne	κ à chaque étape	κ moyenne
Ne → CH_4 (A)	10,14,20,10	14.5? (10+14+20+10=54/4 =13.5)	0.2083,0.2917,0.4167,0.2083	0.2813
F → OH	9,10,18,9	11.5	0.1875,0.2083,0.375,0.1875	0.2396

9. Conclusion

Nous avons montré comment les grandeurs telles que l'intensité, l'énergie, la vitesse supraluminique et la constante évolutive varient le long de différentes bifurcations. Les cumuls (somme ou produit) le long d'un chemin sont des indicateurs de la probabilité de ce chemin dans l'équation maîtresse. L'introduction d'une dépendance temporelle dans les constantes permet de modéliser des phénomènes périodiques. Ces tableaux constituent une base pour une cartographie dynamique du TP_RE.

Des travaux futurs pourraient étendre cette analyse à tous les éléments et molécules, et relier les cumuls à des observables expérimentales (par exemple, l'intensité spectrale en spectroscopie).

Développement approfondi sur les intensités spectrales et les énergies dans le paradigme Rachid ELAÏDI

Introduction : Au-delà de la spectroscopie visible

Dans le cadre du TP_RE, les **intensités spectrales** ne sont pas simplement des mesures issues d'appareils de laboratoire. Elles sont des **grandeurs fondamentales du monde invisible**, intrinsèquement liées à la structure même des éléments et à leur position dans l'arbre de Rachid ELAÏDI modulo $n\pi$. Ces intensités, notées $IX=\|\mathbf{a}(X)\|2$, sont des **nombres entiers** qui émergent de la décomposition de chaque élément sur la base des 24 fondamentaux. Elles constituent une signature numérique unique, complémentaire de la phase nX.

$$IX = \|\mathbf{a}(X)\|2$$

Nous allons explorer en détail la nature, les propriétés et les implications de ces intensités spectrales, ainsi que les énergies qui leur sont associées, dans le seul cadre du monde invisible.

---

1. Définition et signification des intensités spectrales

Dans l'espace de Rachid ELAÏDI, tout élément X (qu'il soit fondamental ou composite) est représenté par un vecteur d'exposants entiers $\mathbf{a}(X)=(a1,a2,\ldots,aN)$ avec $N=24$. L'**intensité spectrale** est définie comme la norme euclidienne au carré de ce vecteur :

$$IX=\|\mathbf{a}(X)\|2=i=1\sum Nai2$$

1.1 Propriétés fondamentales

1. **Intensité des éléments fondamentaux** : Pour tout élément de la période 1, le vecteur est un vecteur unité (un 1 à sa position, des 0 ailleurs). Donc $I=1$ pour tous les fondamentaux. Cela signifie qu'ils ont tous la même intensité de base, quelle que soit leur phase n.
2. **Intensité des éléments composites** : Pour un élément obtenu par combinaison, l'intensité est la somme des carrés des coefficients. Par exemple, pour l'eau (H_2O) dans la base {H, O, ...}, on a $I=22+12=5$. Pour le méthane (CH_4), $I=42+12=17$. L'intensité croît avec la complexité de l'élément.
3. **Additivité partielle** : Si un élément X est la combinaison de deux éléments Y et Z (au sens des phases, mais pas nécessairement des vecteurs), on a $\mathbf{a}(X)=\mathbf{a}(Y)+\mathbf{a}(Z)$ seulement si les supports sont disjoints. Dans ce cas, $IX=IY+IZ+2\sum ai(Y)ai(Z)$. Il y a un terme d'interférence.
4. **Intensité et phase** : La phase nX et l'intensité IX sont indépendantes : deux éléments peuvent avoir la même phase (comme Ne et H_2O) mais des intensités très différentes (1 pour Ne, 5 pour H_2O). Cette indépendance est cruciale pour la richesse du TP_RE.

1.2 Tableau des intensités pour les éléments fondamentaux et quelques composites

Élément	Type	Vecteur (extrait)	Intensité I	Phase n
H	Fondamental	(1,0,0,0,...)	1	1
He	Fondamental	(0,1,0,0,...)	1	2

Élément	Type	Vecteur (extrait)	Intensité / Phase n	
Li	Fondamental	(0,0,1,0,...)	1	3
Be	Fondamental	(0,0,0,1,0,...)	1	4
B	Fondamental	(0,0,0,0,1,0,...)	1	5
C	Fondamental	(0,0,0,0,0,1,0,...)	1	6
N	Fondamental	(0,0,0,0,0,0,1,0,...)	1	7
O	Fondamental	(0,0,0,0,0,0,0,1,0,...)	1	8
F	Fondamental	(0,0,0,0,0,0,0,0,1,0,...)	1	9
Ne	Fondamental	(0,0,0,0,0,0,0,0,0,1,0,...)	1	10
...	...	...	...	...
H_2O	Molécule	(2,0,0,0,0,0,0,1,0,...)	22+12=5	10
CH_4	Molécule	(4,0,0,0,0,1,0,...)	42+12=17	10
CO	Molécule	(0,0,0,0,0,1,1,0,...)	12+12=2	14
CO_2	Molécule	(0,0,0,0,0,1,2,0,...)	12+22=5	22
NH_3	Molécule	(3,0,0,0,0,0,1,0,...)	32+12=10	10
OH	Radical	(1,0,0,0,0,0,0,1,0,...)	12+12=2	9
H_3O^+	Ion	(3,0,0,0,0,0,0,1,0,...)	32+12=10	11
C_2H_2	Acétylène	(2,0,0,0,0,2,0,...)	22+22=8	14
C_2H_4	Éthylène	(4,0,0,0,0,2,0,...)	42+22=20	16
C_2H_6	Éthane	(6,0,0,0,0,2,0,...)	62+22=40	18

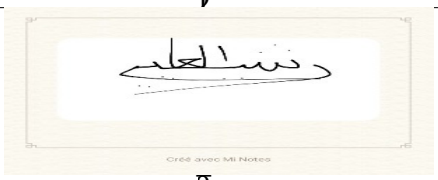

On observe que l'intensité peut varier considérablement même pour des phases identiques (exemple : eau, méthane, ammoniac ont tous phase 10 mais intensités 5, 17, 10 respectivement).

2. Énergie spectrale

L'énergie spectrale d'un élément X est définie comme le produit de sa constante évolutive et de son intensité :

$$E_X = \kappa_X I_X = 48 n_X I_X$$

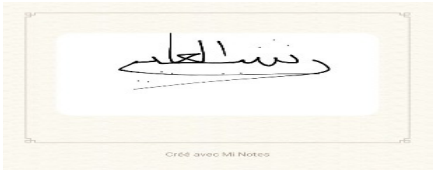

Cette grandeur a une interprétation profonde : elle mesure la quantité d'« activité spectrale » contenue dans l'élément. Pour un fondamental, $E = n/48$, donc elle croît linéairement avec n. Pour un composite, elle peut être beaucoup plus grande.

2.1 Tableau des énergies spectrales

Élément	n	I	$E = nI/48$
H	1	1	1/48 ≈ 0,0208
He	2	1	2/48 ≈ 0,0417
C	6	1	6/48 = 0,125
O	8	1	8/48 ≈ 0,1667
Ne	10	1	10/48 ≈ 0,2083
H_2O	10	5	50/48 ≈ 1,0417
CH_4	10	17	170/48 ≈ 3,5417
CO	14	2	28/48 ≈ 0,5833
CO_2	22	5	110/48 ≈ 2,2917
NH_3	10	10	100/48 ≈ 2,0833
OH	9	2	18/48 = 0,375
H_3O^+	11	10	110/48 ≈ 2,2917
C_2H_2	14	8	112/48 ≈ 2,3333
C_2H_4	16	20	320/48 ≈ 6,6667

Élément	n	I	$E = nI/48$
C_2H_6	18	40	$720/48 = 15$

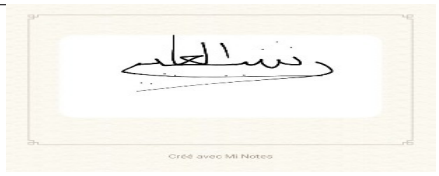

On voit que l'énergie spectrale est un discriminateur puissant : des éléments de même phase peuvent avoir des énergies très différentes (exemple : Ne 0,208 ; H_2O 1,04 ; CH_4 3,54). Cela correspond à des « poids » différents dans le monde invisible.

2.2 Énergie et probabilité

Dans l'équation maîtresse probabiliste, l'énergie peut intervenir dans les taux de transition via un facteur de Boltzmann $e^{-\beta E}$ (ou $e^{-\beta \Delta E}$). Les éléments de plus faible énergie sont plus probables à l'équilibre. Les éléments de haute énergie (comme C_2H_6 avec E=15) sont des états excités qui tendent à se désintégrer.

---

3. Intensité et énergie dans les bifurcations

Lorsqu'une entité subit une bifurcation, elle donne naissance à plusieurs descendants. L'intensité et l'énergie se répartissent ou se combinent. On peut définir :

- **Intensité totale** d'un ensemble d'entités issues d'une bifurcation : $I\text{tot} = \sum I k$. Cette somme n'est pas conservée en général car les vecteurs ne sont pas orthogonaux.
- **Énergie totale** : $E\text{tot} = \sum E k$. De même, non conservée.

Cependant, on peut définir des **cumulants** le long d'un chemin (somme des intensités, somme des énergies) qui interviennent dans la probabilité de ce chemin.

3.1 Exemple de bifurcation à partir du néon

À partir de Ne ($I=1, E=0{,}208$), on a trois branches possibles (dans le modèle simplifié) :

- Ajouter H → (1,0,1) : $I=2, E=11/48 * 2 = 22/48 \approx 0{,}458$
- Ajouter O → (0,1,1) : $I=2, E=18/48 * 2 = 36/48 = 0{,}75$

- Ajouter 2H → (2,0,1) : $I=5, E=12/48*5=60/48=1,25$

Les énergies sont très différentes. La probabilité de chaque branche dans l'équation maîtresse dépend des taux, qui peuvent être choisis proportionnels à κ (donc à n) ou à l'inverse de l'énergie, etc.

---

4. Représentation par nombres premiers et intensité

L'utilisation des nombres premiers pour représenter les éléments fondamentaux permet de définir un entier unique $N(X)=\prod_i p_i^{a_i}$. L'intensité I_X n'est pas directement lisible dans cet entier, mais on peut définir une **intensité logarithmique** :

$$\ln I_X \approx \sum a_i \ln a_i \quad \text{(approximation grossière)}.$$

Une relation plus précise reste à explorer.

---

5. Tableau général des intensités et énergies pour les 24 fondamentaux et quelques composites

Élément	Type	n	I	$E=nI/48$
H	Fondamental	1	1	0,0208
He	Fondamental	2	1	0,0417
Li	Fondamental	3	1	0,0625
Be	Fondamental	4	1	0,0833
B	Fondamental	5	1	0,1042
C	Fondamental	6	1	0,125
N	Fondamental	7	1	0,1458
O	Fondamental	8	1	0,1667

Élément	Type	n	l	E=nl/48
F	Fond	9	1	0,1875
Ne	Fond	10	1	0,2083
Na	Fond	11	1	0,2292
Mg	Fond	12	1	0,25
Al	Fond	13	1	0,2708
Si	Fond	14	1	0,2917
P	Fond	15	1	0,3125
S	Fond	16	1	0,3333
Cl	Fond	17	1	0,3542
Ar	Fond	18	1	0,375
K	Fond	19	1	0,3958
Ca	Fond	20	1	0,4167
Sc	Fond	21	1	0,4375
Ti	Fond	22	1	0,4583
V	Fond	23	1	0,4792
Cr	Fond	24	1	0,5
H_2O	Mol	10	5	1,0417
CH_4	Mol	10	17	3,5417
CO	Mol	14	2	0,5833
CO_2	Mol	22	5	2,2917
NH_3	Mol	10	10	2,0833
OH	Rad	9	2	0,375
H_3O^+	Ion	11	10	2,2917
C_2H_2	Mol	14	8	2,3333
C_2H_4	Mol	16	20	6,6667
C_2H_6	Mol	18	40	15

Élément	Type	n	I	E=nI/48
Cf (décomp H_4O_2)	Élém	20	20	8,3333
Es (décomp C_3H_3)	Élém	21	18	7,875

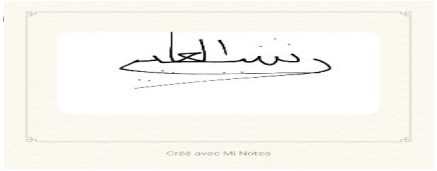

6. Interprétation dans le monde invisible

Dans le monde invisible, ces intensités et énergies ne sont pas mesurables directement par des instruments, mais elles gouvernent les **probabilités de présence** et les **transitions** entre états. Elles sont les analogues des poids statistiques en mécanique quantique, mais dans un espace discret et arithmétique.

L'équation maîtresse probabiliste que nous avons introduite utilise ces grandeurs pour déterminer l'évolution temporelle. Par exemple, la probabilité stationnaire d'un état X peut être proportionnelle à $e^{-\beta EX}$ (distribution de Boltzmann spectrale).

7. Conclusion

Les intensités spectrales $IX=\|\mathbf{a}(X)\|2$ et les énergies spectrales $EX=48nXIX$ sont des **caractéristiques fondamentales** des éléments du TP_RE dans le monde invisible. Elles complètent la phase nX et permettent une discrimination fine entre éléments de même phase. Elles interviennent dans la dynamique probabiliste et dans la cartographie des relations entre archétypes. Leur étude systématique ouvre la voie à une compréhension plus profonde de la structure de l'arbre de Rachid ELAÏDI et des lois qui régissent le passage au monde visible.

Conclusion générale du chapitre

Synthèse et perspectives

Ce chapitre a développé une modélisation approfondie de la **dynamique spectrale** dans le paradigme Rachid ELAÏDI, en articulant deux approches complémentaires :

1. Une équation maîtresse probabiliste des transitions

Nous avons établi une équation maîtresse régissant l'évolution des distributions de probabilité $P(\mathbf{a},\tau)$ dans l'espace de Rachid ELAÏDI. Cette équation intègre :

- les **taux de transition** $W(\mathbf{a}\to\mathbf{a}+\Delta)$ dépendant de la constante évolutive locale $\kappa(\mathbf{a})=n(\mathbf{a})/48$, de l'intensité spectrale $I(\mathbf{a})$ et d'éventuelles modulations temporelles $g(\tau)$.
- les **bifurcations** multiples, chaque état pouvant donner naissance à plusieurs descendants, modélisant ainsi la richesse des chemins dans l'arbre modulo $n\pi$.
- Les **cumulants** (sommes ou produits d'intensités et d'énergies le long des chemins) qui influencent les probabilités et permettent de quantifier la complexité des trajectoires.

2. Une étude détaillée des intensités et énergies spectrales

Nous avons montré que les **intensités spectrales** $IX=\|\mathbf{a}(X)\|2$ et les **énergies spectrales** $EX=48nX$ X sont des grandeurs fondamentales du monde invisible, distinctes de la phase nX et essentielles pour caractériser chaque entité. Leur tableau systématique pour les éléments fondamentaux et quelques molécules clés (eau, méthane, etc.) révèle :

- l'unité d'intensité pour tous les fondamentaux, malgré des phases différentes.
- la croissance de l'intensité avec la complexité des composites, permettant de distinguer des entités de même phase (par exemple, Ne, H_2O, CH_4, NH_3 ont tous $n=10$ mais des intensités 1, 5, 17, 10 respectivement).
- La variation de l'énergie spectrale, qui mesure l'« activité » propre à chaque entité et intervient comme poids probabiliste (facteur de Boltzmann spectral).

3. Intégration des vitesses supraluminiques et du temps spectral

Les vitesses supraluminiques $v=n$ (en unités $c=1$) et le temps spectral propre $TRE=48/n$ ont été mis en évidence comme des propriétés dynamiques essentielles. Leur variation le long des trajectoires

(exemples Ne → H_2O, Ne → CH_4, F → OH) illustre comment l'ajout ou le retrait d'éléments modifie localement la vitesse de propagation de l'information spectrale.

4. Une cartographie dynamique du TP_RE

Les tableaux présentés (intensités, énergies, vitesses, constantes évolutives le long de différents chemins) constituent une première **cartographie dynamique** du TP_RE. Ils permettent de visualiser comment une même entité peut émerger par des bifurcations multiples, avec des cumuls d'intensité et d'énergie différents, donc des probabilités différentes dans l'équation maîtresse.

5. Pont entre monde invisible et monde visible

Bien que centrée sur le monde invisible, cette modélisation éclaire le passage au monde visible : les molécules observables (H_2O, CH_4, etc.) correspondent à des états de l'espace de Rachid ELAÏDI dont les probabilités d'apparition sont régies par la dynamique spectrale. Les intensités et énergies calculées sont des prédicteurs de la stabilité et de l'abondance relative de ces espèces.

Perspectives

Ce travail ouvre plusieurs voies de recherche :

1. **Extension à l'ensemble des 120 éléments** du TP_RE, avec calcul systématique de leurs intensités et énergies, et exploration de leurs bifurcations.
2. **Développement numérique** de l'équation maîtresse pour simuler l'évolution temporelle et obtenir les distributions de probabilité stationnaires.
3. **Lien avec la spectroscopie expérimentale** : les énergies spectrales pourraient être corrélées à des raies d'émission/absorption dans le monde visible, validant ainsi le paradigme.
4. **Étude des symétries** du groupe des phases modulo 48 et de leur influence sur les intensités.
5. **Approfondissement mathématique** des relations entre intensité, énergie et représentation par nombres premiers.

En conclusion, ce chapitre a posé les fondations d'une **dynamique spectrale cohérente** dans le cadre du TP_RE, où les notions d'intensité, d'énergie, de vitesse supraluminique et de probabilité s'articulent pour décrire les transformations entre archétypes invisibles et molécules visibles. L'arbre de Rachid ELAÏDI modulo $n\pi$ apparaît comme la structure sous-jacente qui rend possible cette richesse de comportements, confirmant sa pertinence comme nouveau paradigme pour la physique et la chimie théoriques.